VYSOKÉ UČENÍ TECHNICKÉ V BRNĚ FAKULTA INFORMAČNÍCH TECHNOLOGIÍ

Modelování a simulace Predikce epidemie COVID-19

1 Úvod

Tématem práce jsou epidemiologické modely na makroúrovni, konkrétně předpověď šíření pandemie COVID-19 na území Itálie a České republiky. Tato práce implementuje již existující model, který předpovídá vývoj pandemie na území Itálie a opakuje provedené experimenty. Tento model byl vytvořen Guiliou Giordanem a dalšími [2]. Smyslem projektu je předpověď šíření nemoci COVID-19 na území České republiky v následujících měsících, aplikování různých opatření proti šíření a zhodnocení, zda byly dosavadní opatření dostačující, případně zda bylo rozvolnění těchto opatření správným rozhodnutím.

1.1 Autoři a zdroje informací

Autory tohoto projektu jsou:

- Radek Švec, xsvecr01@stud.fit.vutbr.cz
- Martin Kostelník, xkoste12@stud.fit.vutbr.cz

Jak bylo řečeno v úvodu, samotný model byl převzat z odborné literatury [2]. Při pokusu aplikovat model na prostředí České republiky byly použity data z oficiálních stránek Ministerstva zdravotnictví České republiky

1.2 Ověření validity

Validitu modelu jsme ověřovali zkoumáním převzatého modelu, zejména porovnání výsledků prováděných simulací s reálným vývojem pandemie v Itálii. Validita modelu v prostředí České republiky je opět ověřována porovnáním simulačních dat s reálnými.

2 Rozbor tématu a použitých metod/technologií

Model byl převzat z odborného článku [2] publikovaného v časopise Nature Medicine². Všechny data o šíření viru COVID-19 v České republice byly převzaty z oficiálních stránek Ministerstva zdravotnictví České republiky ³.

2.1 Popis použitých postupů

Bylo nutné model detailně nastudovat a zkontrolovat dosažené výsledky. Tento konkrétní model nám přišel na modelování pandemie vhodný, jelikož rozděluje společnost do většího množství skupin a počítá s různě těžkými projevy nemoci.

2.2 Popis použitých technologií

Pro provedení experimentů bylo nutné vytvořit simulační model, který jsme implementovali v jazyce C++. Nebylo třeba použít nestandardní knihovny, jelikož se model skládá pouze z řady diferenciálních rovnic a parametrů. Pro vykreslení grafů byl použit nástroj GNUPlot⁴.

¹https://onemocneni-aktualne.mzcr.cz/covid-19

²https://www.nature.com/nm/

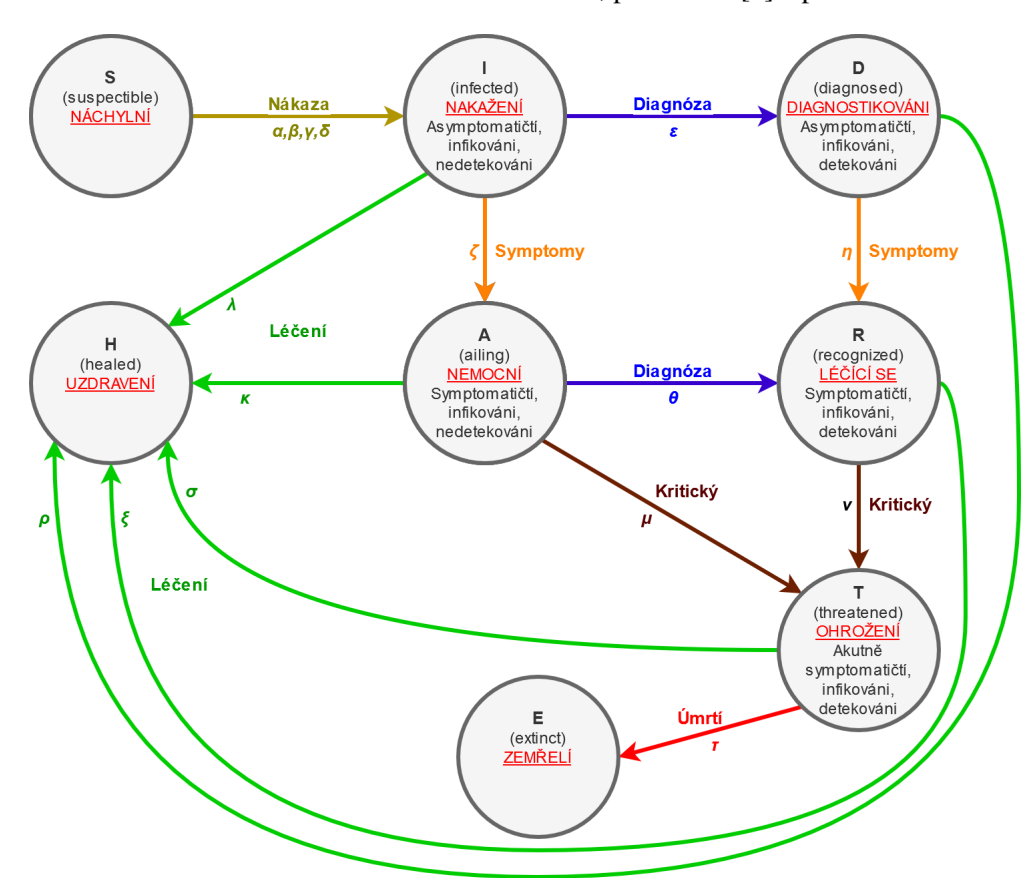
³https://onemocneni-aktualne.mzcr.cz/covid-19

⁴http://www.gnuplot.info/

3 Koncepce abstraktího modelu

Model zvaný SIDARTHE je rozšířením jednoduššího SIR modelu, který rozděluje populaci na tři skupiny lidí (náchylní, infikovaní a vyléčení), o dalších pět skupin. Vzniká nám tedy následujících osm skupin.

- S Náchylní (Susceptible) k onemocnění.
- I Nakažení (Infected) asymptomatičtí, vir u nich nebyl detekován.
- D Diagnostikovaní (Diagnosed) asymptomatičtí, vir u nich byl detekován.
- A Nemocní (Ailing) symptomatičtí, nebyli testováni.
- R Léčící se (Recognized) symptomatičtí, byl u nich detekován vir.
- T Životně ohrožení (Threatened) mají těžký průběh nemoci, vyžadují intenzivní péči.
- H Vyléčení (Healed).
- E Mrtví (Extinct).



Obrázek 1: Grafické znázornění modelu, převzato z [2] a přeloženo

Tento model nepočítá s možností, že se jedinec může virem nakazit opakovaně. I když bylo prokázáno, že se jedinec znovu nakazit může [3], není stále přesně známo, jakou imunitu si jedinec vybuduje. Takto nakažených je navíc velice malé množštví, například ve Švédsku v polovině října to bylo pouhých sto padesát případů [1], tudíž je v modelu zanedbáváme.

3.1 Matematické vyjádření modelu

Model můžeme matematicky popsat celkem osmi diferenciálními rovnicemi, které popisují vývoj jedinců v každé skupině jako zlomek celkové populace státu v čase t.

$$S'(t) = -S(t)(\alpha I(t) + \beta D(t) + \gamma A(t) + \delta R(t)) \tag{1}$$

$$I'(t) = S(t)(\alpha I(t) + \beta D(t) + \gamma A(t) + \delta R(t)) - (\epsilon + \zeta + \lambda)I(t)$$
(2)

$$D'(t) = \epsilon I(t) - (\eta + \rho)D(t) \tag{3}$$

$$A'(t) = \zeta I(t) - (\theta + \mu + \kappa)A(t) \tag{4}$$

$$R'(t) = \eta D(t) + \theta A(t) - (\nu + \xi)R(t) \tag{5}$$

$$T'(t) = \mu A(t) + \nu R(t) - (\sigma + \tau)T(t) \tag{6}$$

$$H'(t) = \lambda I(t) + \rho D(t) + \kappa A(t) + \xi R(t) + \sigma T(t)$$
(7)

$$E'(t) = \tau T(t) \tag{8}$$

Kromě množství jedinců ve skupinách se v rovnicích vyskytují následující parametry:

- α , β , γ , δ pravděpodobnost přenosu viru mezi náchylným, infikovaným, diagnostikovaným, nemocným a léčícím se jedincem vynásobená průměrným počtem kontaktů za den
- ϵ , θ pravděpodobnost detekce viru u nakažených a nemocných
- ζ , η pravděpodobnost, že se u nakaženého a diagnostikovaného jedince vystkytnou symptomy nemoci
- μ , ν pravděpodobnost, že se z nemocného a léčícího se jedince stane kriticky ohrožený jedinec
- τ úmrtnost
- λ , κ , ξ , ρ a σ pravděpodobnost, že se nakažený, nemocný, léčící se, diagnostikovaný nebo ohrožený jedinec z nemoci vyléčí

4 Architektura simulačního modelu

V implementovaném programu existují dvě struktury, kde jsou uložena všechna data pro provádění simulací. První struktura v sobě uchovává počty jedinců ve skupinách a další informace o území, na kterém se experimenty provádějí. V této struktuře je také implementováno chování modelu, které za pomocí druhé struktury a aktuálních informací předpovídá vývoj nemoci. To se provádí iterováním výpočtů. Druhá struktura popisuje aktuální chování nemoci, obsahuje tedy všechny paramtery pravděpodobnostního charakteru, jež se využívají v simulacích pro určité časové období a pomáhají k lepší definici následků zpřísnění nebo rozvolnění opatření.

U tohoto modelu je problematické zadání všech parametrů uživatelem. Uživatel by musel zadat velké množství hodnot a tento přístup by byl velice náchylný k chybám. Proto jsou údaje pro všechny provedené experimenty uloženy přímo ve zdrojovém kódu programu. Jednotlivé experimenty je možné spouštět různými cíly definovanými v souboru Makefile. Konkrétní příkazy pro spuštění experimentů jsou v kapitole 5.

Po provedení simulace program vypíše výsledné množství jedinců v každé ze skupin na standardní výstup a zároveň data z každého dne zapisuje do souboru data.txt pro možnost generování grafů.

4.1 Mapování abstraktního modelu do modelu simulačního

Diferenciální rovnice popsané v kapitole 3.1 jsou implementovány ve funkci predict (), která je uložena ve struktuře s názvem SIDARTHE. Tato funkce dostává na vstupu tři parametry. Prvním je struktura Disease popisující nemoc, druhým a třetím parametrem je počáteční a koncový den simulace. Funkce poté iterativně počítá přírustky jedinců do každé ze skupin a každá iterace představuje jeden den.

5 Podstata simulačních experimentů a jejich průběh

Cílem experimentování je předpovědět šíření pandemie COVID-19 na území České republiky, zhodnotit zavedená opatření, či zda bylo rozvolnění těchto nebo jiných opatření tím správným přístupem.

5.1 Postup experimentování

Experimentování s modelem je rozděleno do dvou částí. V části 5.2 se pokusíme zopakovat některé experimenty prováděné autory modelu [2]. Ve části 5.3 aplikujeme model na prostředí České republiky, kde budeme zkoumat vývoj pandemie v období od 1. listopadu 2020 do 31. ledna 2021. Pro dosavadní vývoj budeme upravovat parametry modelu tak, aby v jednotlivých dnech co nejvíce odpovídaly reálným datům, které byly získány z oficiálních stránek Ministerstva zdravotnictví České republiky⁵.

5.2 Zopakování experimentů

V této kapitole se pokusíme zopakovat některé z již provedených experimentů a porovnat naše výsledky s referenčními.

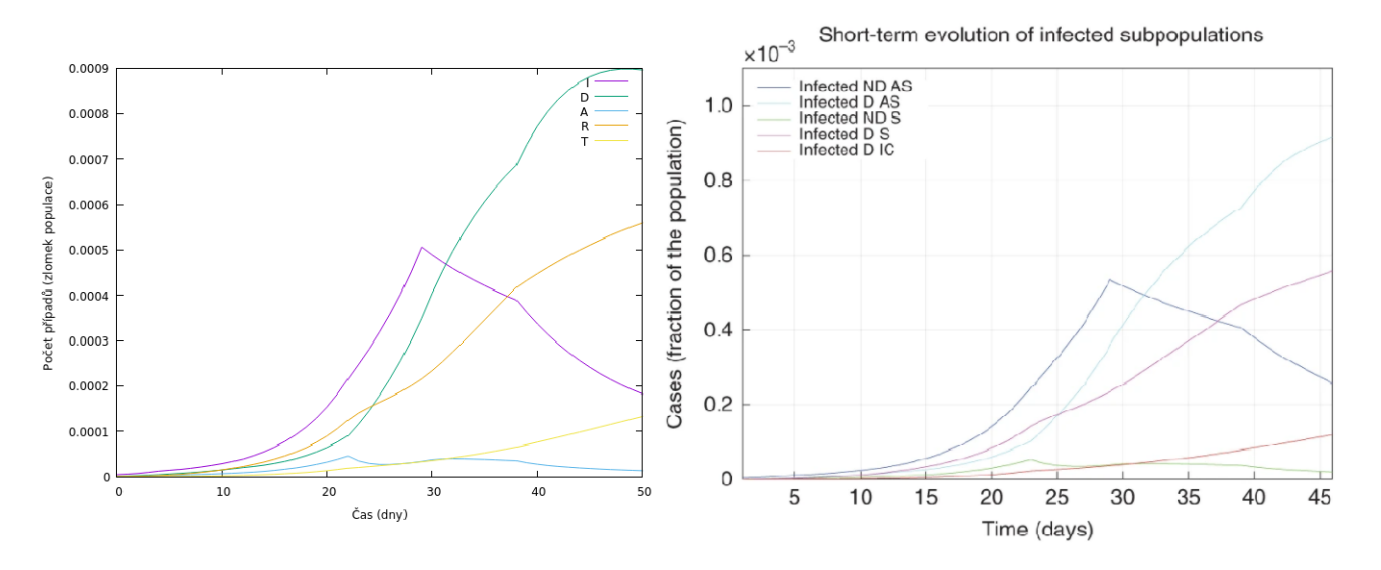
5.2.1 Experiment 1

Experiment lze replikovat spuštěním příkazu make run1.

Tento experiment se snaží simulovat šíření nemoci v Itálii od 20. února 2020 do 5. dubna 2020. Celkem se tedy zkoumá čtyřicet šest dní. Během této doby byla v Itálii implementována řada opatření, jejichž následky můžeme sledovat v obrázku 2.

⁵https://onemocneni-aktualne.mzcr.cz/covid-19

Obrázek 2: Porovnání výsledků experimentu 5.2.1



Na levém obrázku můžeme vidět graf generovaný z výsledků našeho experimentu. Na pravém obrázku je graf referenční (převzat z [2]).

5.2.2 Experiment 2

Experiment lze replikovat spuštěním příkazu make run2.

Tento experiment navazuje na experiment 5.2.1. Pokouší se simulovat šíření nemoci na větším časovém úseku. Celkem 350 dní od 20. února 2020.

```
---- RESULTS ----
   99.4270
            응
              (59656223/60000000)
     0.0002 %
              (110/60000000)
     0.0012 % (706/6000000)
D
 =
     0.0000 % (7/60000000)
Α
     0.0016 % (960/60000000)
     0.0033 % (1972/60000000)
Τ
     0.5113 % (306791/60000000)
H =
     0.0554 % (33228/60000000)
E =
```

Long-term evolution of infected subpopulations 0.0009 1.0 0.0008 Cases (fraction of the population) 0.0007 0.8 ocet pripadů (zlomek populace) 0.0006 0.0005 0.6 0.0004 0.4 0.0003 0.0002 0.2 0.000 150 50 250 350 100 150 200 300 Time (days)

Obrázek 3: Porovnání výsledků experimentu 5.2.2

Na levém obrázku můžeme vidět graf generovaný z výsledků našeho experimentu. Na pravém obrázku je graf referenční (převzat z [2]).

5.3 Aplikování modelu na Českou republiku

V této kapitole je popsáno, jak jsme model aplikovali na prostředí České republiky. Bylo nutné vybrat vhodné období pro experimentování a zdokumentovat všechna vládní opatření aplikovaná v tomto období nebo případné rozvolňování těchto opatření.

5.3.1 Experiment 1

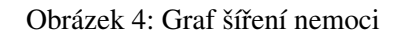
Tento experiment lze replikovat příkazem make run.

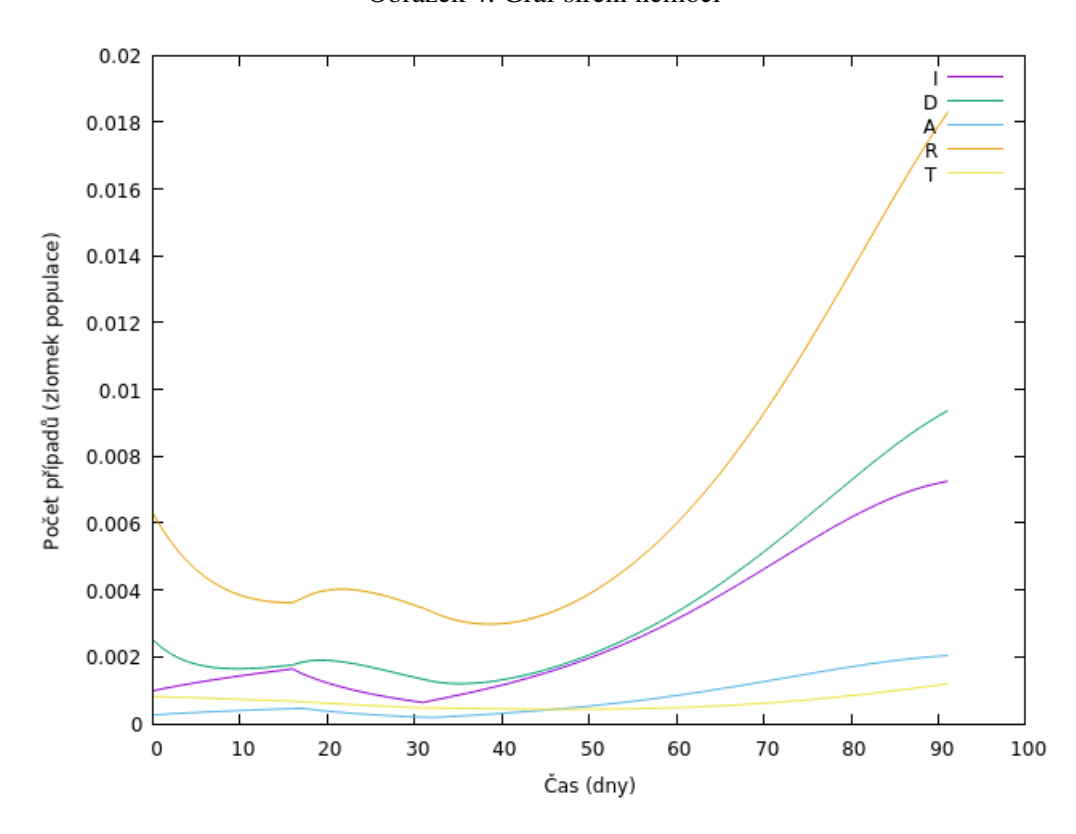
Experiment se pokouší předpovědět šíření nemoci v období od 1. listopadu 2020 do 31. ledna 2021. Průběh experimentů je rozdělen do tří menších období dle měnících se opatření.

- 1. 1.11.2020 17.11.2020 Pro toto období byly parametry nastaveny tak, aby výsledky co nejpřesněji kopírovaly reálná data o nakažených.
- 2. 18. 11. 2020 2. 12. 2020 V tomto období došlo k různým opatřením, největšími faktory jsou však omezení počtu lidí v obchodech a návrat žáků prvních a druhých tříd, návrat závěrečných ročníků středních škol a návrat žáků druhého stupně zakládních škol.
- 3. 3. 12. 2020 31. 1. 2021 Zde je samotná předpověď, jak by se nákaza mohla šířit.

```
H = 11.9061 \% (1272765/10690000)

E = 0.1725 \% (18442/10690000)
```





5.3.2 Experiment 2

Tento experiment lze replikovat příkazem make run3.

Experiment navazuje na experiment 5.3.1, avšak ukazuje, jak by se nemoc mohla šířit po dobu jednoho roku. Mluvíme tedy o období od 1. listopadu 2020 do 31. říjma 2021.

0.025 D Α 0.02 Počet případů (zlomek populace) 0.015 0.01 0.005 0 50 100 150 200 250 300 350 0 400 Čas (dny)

Obrázek 5: Graf šíření nemoci

5.3.3 Experiment 3

Tento experiment lze replikovat příkazem make run4.

Zde se podíváme, jak by šíření vypadalo v období od 1. listopadu 2020 do 31. ledna 2021 v případě, že by vláda nezmírnila opatření otevřením restaurací a služeb dne 3. prosince 2020.

0.007
0.006
0.005
0.005
0.004
0.003
0.003

Obrázek 6: Graf šíření nemoci

5.3.4 Experiment 4

0.001

0

Tento experiment lze replikovat příkazem make run5.

10

20

30

40

50

Čas (dny)

60

70

80

90

100

Poslední experiment ukazuje, jak by mohly následky vypadat v případě, že by vláda nezmírnila žádná opatření, avšak neomezila maximální počet lidí v obchodech.

0.007 D 0.006 Počet případů (zlomek populace) 0.005 0.004 0.003 0.002 0.001 0 0 10 20 30 40 50 60 70 80 90 100 Čas (dny)

Obrázek 7: Graf šíření nemoci

5.4 Závěry experimentů

Bylo provedeno celkem šest experimentů, z nichž první dva ukázaly šíření nemoci v Itálii. Bylo také provedeno porovnání našich výsledků s výsledky autorů modelu [2]. Experimenty v prostředí České republiky nám ukázaly, jak by se mohla pandemie vyvíjet v blízké době a také v době jednoho roku za implementace různých protiopatření.

6 Shrnutí simulačních experimentů a závěr

V rámci projektu vznikl nástroj na předpovídání šíření nemoci COVID-19 na území České republiky. Nástroj vychází z modelu publikovaného ve vědeckém článku [2] a rozšiřuje jej o další experimenty. Z experimentu 5.3.1 je patrné, že při současných opatřeních bude pandemie nabírat na síle a bylo by vhodné implementovat další opatření. V experimentu 5.3.2 si všimněme, že i při současných opatřeních pandemie do jednoho roku téměř vymizí, avšak za cenu 66 477 mrtvých. Naopak experiment 5.3.3 nám ukázal, že pokud by vláda 3. prosince 2020 neotevřela restaurace a služby, šíření pandemie by se velmi zpomalilo a nakažených by začalo rapidně ubývat. Můžeme tedy konstatovat, že otevření restaurací nebyl ze strany vlády ten správný krok.

Literatura

[1] Akpan, N.: Why coronavirus reinfections are happening. 2020.

```
Dostupné z: https://www.nationalgeographic.com/science/2020/12/why-coronavirus-reinfections-are-happening/
```

[2] Giordano, G.; aj.: Modelling the COVID-19 epidemic and implementation of population-wide interventions in Italy., č. 26, 2020: s. 855–860.

```
Dostupné z: https://doi.org/10.1038/s41591-020-0883-7
```

[3] Kerwin, H.; aj.: Genomic evidence for reinfection with SARS-CoV-2: a case study. 2020. Dostupné z: https://doi.org/10.1016/S1473-3099(20)30764-7